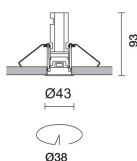


**Produktkonfiguration: QY57.43**

QY57.43: Runde, schwenkbare Einbauleuchte (schwingend) - LED - Wide Flood - schwarz / schwarz



QY57.43: Runde, schwenkbare Einbauleuchte (schwingend) - LED - Wide Flood - schwarz / schwarz

Runde Einbauleuchte mit Falzrahmen. Schwenkbare Version mit schwingender Bewegung um max. 30°. Der schwenkbare Hauptkorpus aus Aluminiumdruckguss weist eine strahlende Oberfläche auf, die eine optimale Wärmeableitung garantiert. Hochleistungsreflektor aus metallisiertem Thermoplast mit Wide-Flood-Optik (40°). Struktur mit äußerem Falzrahmen aus Aluminiumdruckguss, mit weißer Lackierung überzogen. Schwenkinstrumente aus Stahl. Ring im Inneren des schwenkbaren Korpus aus Thermoplast, erhältlich in verschiedenen lackierten oder metallbeschichteten Ausführungen. Schutzglas inbegriffen. Einfacher und schneller Zusammenbau ohne Werkzeug. LED 2700K mit hohem Farbwiedergabe-Index. Versorgungseinheit mit getrenntem Code verfügbar.

Zum Einbau mittels Stahldraht-Federn mit Herabfallschutzsystem in abgehängte Decken mit einer Mindestdicke 1 mm - Einbauöffnung Ø 38 mm

Schwarz/Schwarz (43)

## 0.14

Wandeinbauleuchte | Deckeneinbauleuchte

Konstantstromversorgungseinheiten mit separatem Code verfügbar: ON-OFF / dimmbar 1-10V / dimmbar DALI / dimmbar mit Phasenanschnitt - die Einbauleuchte wird mit Kabel und Schnellanschluss geliefert, die an den mitgelieferten Steckverbinder an der Versorgungseinheit anzuschließen sind.

Um die Blendwirkung der Innenwand der Einbauleuchte bei erfolgter Drehung zu vermindern, ist ein schwarzer Zubehörring mit Einrastfunktion erhältlich. Daneben ist eine breite Palette an dekorativem und Blendschutz-Zubehör erhältlich.

Gemäß der Normen EN60598-1 u. Sondernormen



Im System:	448	CRI (minimum):	90
W System:	6.7	Farbtemperatur [K]:	2700
Im Lichtquelle:	650	MacAdam Step:	2
W Lichtquelle:	6.7	Lampencode:	LED
Lichtausbeute (lm/W, Systemwert):	66.9	Anzahl Lampen in Leuchtengehäuse:	1
Im im Notlichtbetrieb:	-	ZVEI-Code:	LED
abgegebener Lichtstrom bei/ über einem Winkel von 90° [lm]:	0	Anzahl Leuchtengehäuse:	1
Leuchtenbetriebswirkungsgrad 69 (L.O.R.) [%]:		LED Strom [mA]:	550
Abstrahlwinkel [°]:	40°		

The figure shows a light distribution diagram on the left and photometric data on the right.

**Light Distribution Diagram:** A circular diagram with a vertical axis labeled  $0^\circ$  at the bottom and  $180^\circ$  at the top. Horizontal lines are drawn at  $90^\circ$  and  $270^\circ$ . A red curve represents the beam spread, starting from the center and extending downwards. The angle between the vertical axis and the beam edge is labeled  $\alpha = 40^\circ$ . The diagram is labeled with  $I_{\max} = 1151 \text{ cd}$  at the top and  $1000$  on the left side.

**Photometric Data:**

- CIE**
  - nL 0.69
  - 99-100-100-100-69
  - UGR 11.2-11.2
- DIN**
  - A.61
- UTE**
  - 0.69A+0.00T
  - F\*1=992
  - F\*1+F\*2=999
  - F\*1+F\*2+F\*3=1000

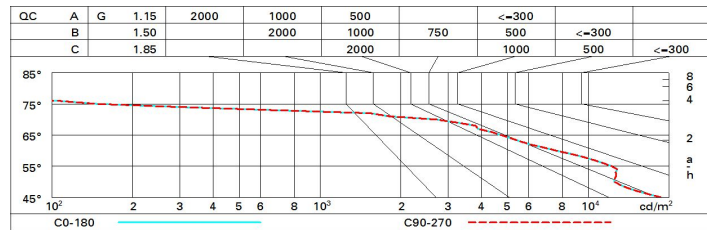
**Lux Table:**

	h	d	Em	E <sub>max</sub>
1	0.7	905	1151	
2	1.5	226	288	
3	2.2	101	128	
4	2.9	57	72	

# Wirkungsgrad

R	77	75	73	71	55	53	33	00	DRR
K0.8	62	59	57	55	58	56	56	54	78
1.0	65	62	60	58	61	59	59	57	82
1.5	68	66	64	63	65	64	63	61	88
2.0	70	69	67	66	68	67	66	64	93
2.5	72	70	69	69	69	68	68	66	96
3.0	72	72	71	70	70	70	69	67	98
4.0	73	73	72	72	72	71	70	68	99
5.0	74	73	73	73	72	72	71	69	100

# Söller-Diagramm



# UGR-Diagramm

Corrected UGR values (at 650 lm bare lamp luminous flux)											
Reflect.:											
ceiling/cav		0.70	0.70	0.50	0.50	0.30	0.70	0.70	0.50	0.50	0.30
walls		0.50	0.30	0.50	0.30	0.30	0.50	0.30	0.50	0.30	0.30
work pl.		0.20	0.20	0.20	0.20	0.20	0.20	0.20	0.20	0.20	0.20
Room dim		viewed crosswise					viewed endwise				
x	y										
2H	2H	11.6	12.1	11.9	12.4	12.6	11.6	12.1	11.9	12.4	12.6
	3H	11.5	12.0	11.8	12.3	12.6	11.5	12.0	11.9	12.3	12.6
	4H	11.5	11.9	11.8	12.2	12.5	11.5	11.9	11.8	12.2	12.5
	6H	11.4	11.8	11.7	12.1	12.4	11.4	11.8	11.8	12.1	12.5
	8H	11.3	11.8	11.7	12.1	12.4	11.4	11.8	11.7	12.1	12.4
	12H	11.3	11.7	11.7	12.0	12.4	11.3	11.7	11.7	12.1	12.4
4H	2H	11.5	11.9	11.8	12.2	12.5	11.5	11.9	11.8	12.2	12.5
	3H	11.4	11.8	11.8	12.2	12.5	11.4	11.8	11.8	12.1	12.5
	4H	11.3	11.7	11.7	12.0	12.4	11.3	11.7	11.7	12.0	12.4
	6H	11.2	11.5	11.7	11.9	12.4	11.3	11.6	11.7	11.9	12.4
	8H	11.2	11.5	11.6	11.9	12.3	11.2	11.5	11.6	11.9	12.3
	12H	11.2	11.4	11.6	11.8	12.3	11.2	11.4	11.6	11.8	12.3
8H	4H	11.2	11.5	11.6	11.9	12.3	11.2	11.5	11.6	11.9	12.3
	6H	11.1	11.3	11.6	11.8	12.3	11.1	11.3	11.6	11.8	12.3
	8H	11.1	11.3	11.5	11.7	12.2	11.1	11.3	11.5	11.7	12.2
	12H	11.0	11.2	11.5	11.7	12.2	11.0	11.2	11.5	11.7	12.2
12H	4H	11.2	11.4	11.6	11.8	12.3	11.2	11.4	11.6	11.8	12.3
	6H	11.1	11.3	11.5	11.7	12.2	11.1	11.3	11.5	11.7	12.2
	8H	11.0	11.2	11.5	11.7	12.2	11.0	11.2	11.5	11.7	12.2
Variations with the observer position at spacing:											
S =	1.0H	5.0 / -4.4					5.0 / -4.4				
	1.5H	7.7 / -7.7					7.7 / -7.7				
	2.0H	9.7 / -9.9					9.7 / -9.9				